

## ПРО СТРУКТУРУ МЕХАНІЗМУ КОЛОДКОВОГО ГАЛЬМА І ПІДВИЩЕННЯ ЙОГО НАДІЙНОСТІ

*Самойленко Л.К., Проценко В.О.,  
Херсонський національний технічний університет,  
Херсонський державний морський інститут*

*Виконано аналіз структури механізму колодкового гальма з гідроштовхачем та виявлено в ньому зайві зв'язки. Запропоноване колодкове гальмо, в якому за рахунок конструктивного виконання знижена чутливість до точності виготовлення та монтажу, підвищена рівномірність розподілу зусиль між колодками і надійність роботи за рахунок ліквідації зайвих зв'язків.*

*Ключові слова: гальмо, гідроштовхач, надійність, зайві зв'язки.*

**Вступ.** Значний ріст перевантажувальних робіт у портах, необхідність прискорення обробки флоту, та інших видів транспорту, визначають інтенсивне використання існуючого парку підйомно-транспортних машин (ПТМ) та поповнення його новими високопродуктивними машинами. Нові ПТМ проектується для роботи з високими швидкостями для скорочення робочого циклу. У цих умовах особливого значення набуває забезпечення надійної роботи суднових і портових ПТМ, їх специфікованих виробів та деталей.

**Аналіз стану проблеми. Постановка задачі.** Продуктивність ПТМ залежить також від тривалості періодів пуску і гальмування, а їх надійність та безпечність – від надійності гальмівних пристроїв.

Найбільш поширеними в ПТМ є різноманітні конструкції колодкових гальм, що складаються з важелів та двох колодок, діаметрально розташованих відносно гальмівного шківів, які розрізняються, в основному, схемою важільної системи. Серед колодкових гальм розповсюджені конструкції з приводом від гідроштовхача, що пояснюється їх перевагами в порівнянні з електромагнітами [1].

Наприклад, відоме колодкове гальмо, що складається із корпусу, правого та лівого гальмівних важелів, з можливістю повороту закріплених у корпусі. На важелях шарнірно закріплені колодки з фрикційними накладками, якими охоплені гальмівний шків. В отвори гальмівних важелів з можливістю повороту встановлені осі лівого та правого гальмівних важелів. На осі правого гальмівного важеля з можливістю повороту встановлений верхній важіль, в отвір якого встановлена з можливістю повороту вісь верхнього важеля, яка шарнірно сполучена з віссю лівого гальмівного важеля за рахунок штока. Шток пропущений у поперечні отвори осей верхнього та лівого гальмівного важелів з можливістю його обертання навколо власної осі. Верхній важіль сполучений з корпусом за рахунок гідроштовхача та тяги з пружиною, шарнірно закріплених на верхньому важелі та корпусі з можливістю повороту [2].

Недоліком даного колодкового гальма є висока чутливість до точності виготовлення та монтажу, нерівномірний розподіл зусиль між колодками і низька надійність роботи, що обумовлені наявністю зайвих зв'язків.

Задачею даної роботи є аналіз структури механізму описаного колодкового гальма, виявлення у ньому зайвих зв'язків та створення колодкового гальма, в якому за рахунок конструктивного виконання можливо було б знизити чутливість до точності виготовлення та монтажу, підвищити рівномірність розподілу зусиль між колодками і надійність роботи за рахунок зменшення кількості зайвих зв'язків.

**Розв'язання поставленої задачі.** Структурна схема механізму описаного гальма показана на рисунку 1. На ньому кількість рухомих ланок  $n = 12$ , кількість кінематичних пар п'ятого класу  $P_5 = 13$ , кількість кінематичних пар четвертого класу  $P_4 = 2$ , загальна кількість кінематичних пар  $P = P_5 + P_4 = 13 + 2 = 15$ .

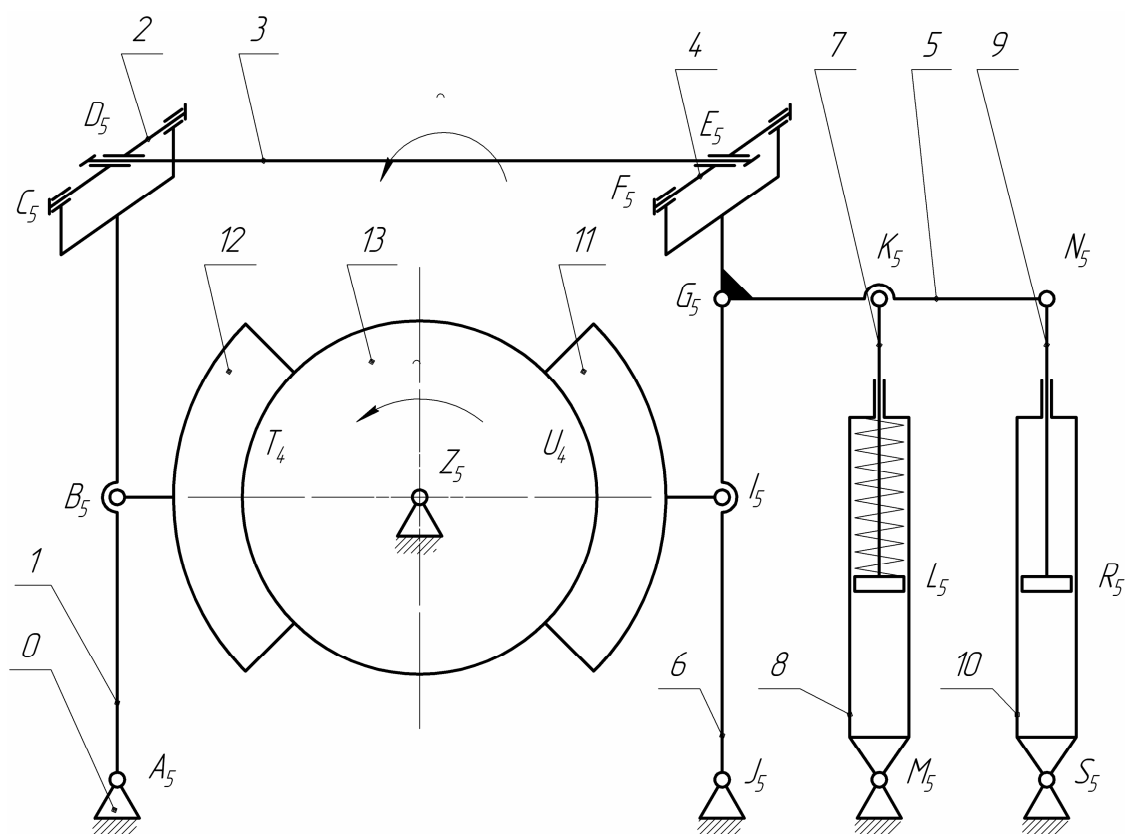


Рисунок 1 – Структурна схема механізму досліджуваного колодкового гальма

Число незалежних замкнених контурів [3]:

$$k = D - n = 15 - 12 = 3 \quad (1)$$

Ступінь рухомості  $W$  механізму визначимо за формулою Войня і Атанасіу [4]:

$$W = N - \sum r_i, \quad (2)$$

де  $N$  – загальна кількість однорухомих обертальних кінематичних пар;  
 $r_i$  – ранг незалежного контура.

Незалежний контур  $ABCDEFGLJA$ . Ранг його осей  $r_1 = 4$ .

Осі незалежних контурів  $JIGKLMJ$  та  $JIGKNRSJ$  мають ранг  $r_2 = r_3 = 3$ .

Тоді,

$$W = 15 - 4 - 3 - 3 = 5.$$

З них – рухомості ланок 11 і 12  $W_n = 2$ , основна рухомість механізму  $W_o = 2$ , місцева рухомість рухомої ланки 3 (обертання)  $W_m = 1$ .

$$W = W_o + W_m + W_i = 5. \quad (3)$$

Коли гальмо спрацює, колодки 11, 12 будуть притиснені до шківів 13 і з'являться дві кінематичні пари четвертого класу  $T_4, U_4$  та одна кінематична пара п'ятого класу  $Z_5$ , рухома ланка 13, ланки 11 і 12 втратять незалежні рухи ( $W_n = 0, W_o = 0$ ).

Будова механізму представлена його структурним графом [5] (рис. 2). Вершини відповідають структурним групам, а ребра – з'єднанням цих груп. Всередині вершин вказано число ланок і входів груп.

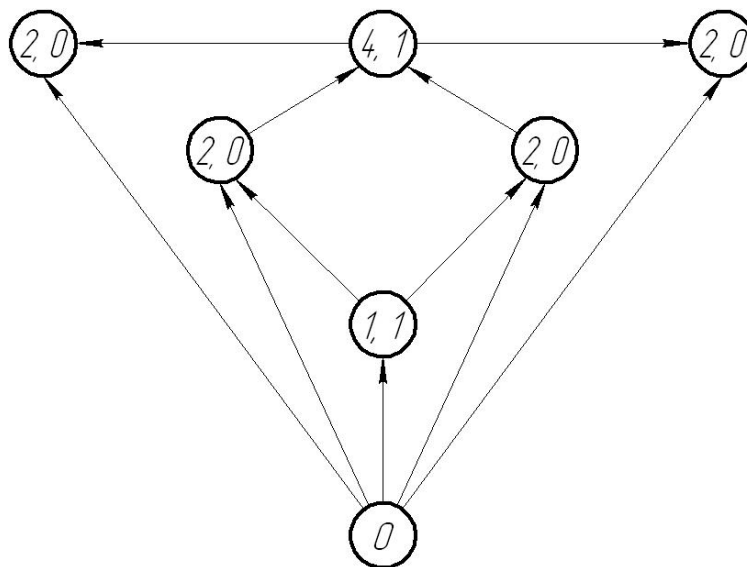


Рисунок 2 – Структурний граф механізму

Ланок стало  $n = 13$ , кінематичних пар  $P_5 = 14, P_4 = 4, P = 18, W_m = 2$ .

Число незалежних контурів:

$$k = D - n = 18 - 13 = 5.$$

Число зайвих зв'язків за формулою Малишева [5, 6]:

$$\begin{aligned} q_M &= W - 6n + 5P_5 + 4P_4 + 3P_3 + 2P_2 + P_1 = \\ &= 2 - 6 \times 13 + 5 \times 14 + 4 \times 4 = 10 \end{aligned} \quad (4)$$

За формулою Озола:

$$q_o = W + 6k - f_1 = 2 + 6 \times 5 - 1 \times 14 - 2 \times 4 = 10 \quad (5)$$

Кількість зайвих зв'язків у контурі:

$$q_{\dot{e}} = W_{\dot{e}} + 6 - f_{\dot{e}}, \quad (6)$$

де  $W_k$  – рухомість контура;

$f_k$  – сума рухомостей кінематичних пар контура.

Визначаємо кількість зайвих зв'язків у кожному контурі.

$$ABTZA: q_{k1} = 1 + 6 - 5 = 2;$$

$$JIUZJ: q_{k2} = 1 + 6 - 5 = 2;$$

$$CDEFGC: q_{k3} = 1 + 6 - 5 = 2;$$

$$JGKLMJ: q_{k4} = 0 + 6 - 4 = 2;$$

$$JGNSJ: q_{k5} = 0 + 6 - 4 = 2.$$

У п'яти контурах:

$$q = \sum_{i=1}^5 q_{ki} = 2 + 2 + 2 + 2 + 2 = 10. \quad (7)$$

Результати формул (4), (5) і (7) співпали – розрахунки виконані вірно.

Зменшення кількості зайвих зв'язків досягається за рахунок виконання колодкового гальма з корпусу 1 (рис. 3), правого 2 та лівого 3 гальмівних важелів, на яких шарнірно закріплені колодки 4 і 5. Колодками 4 і 5 охоплений гальмівний шків 6.

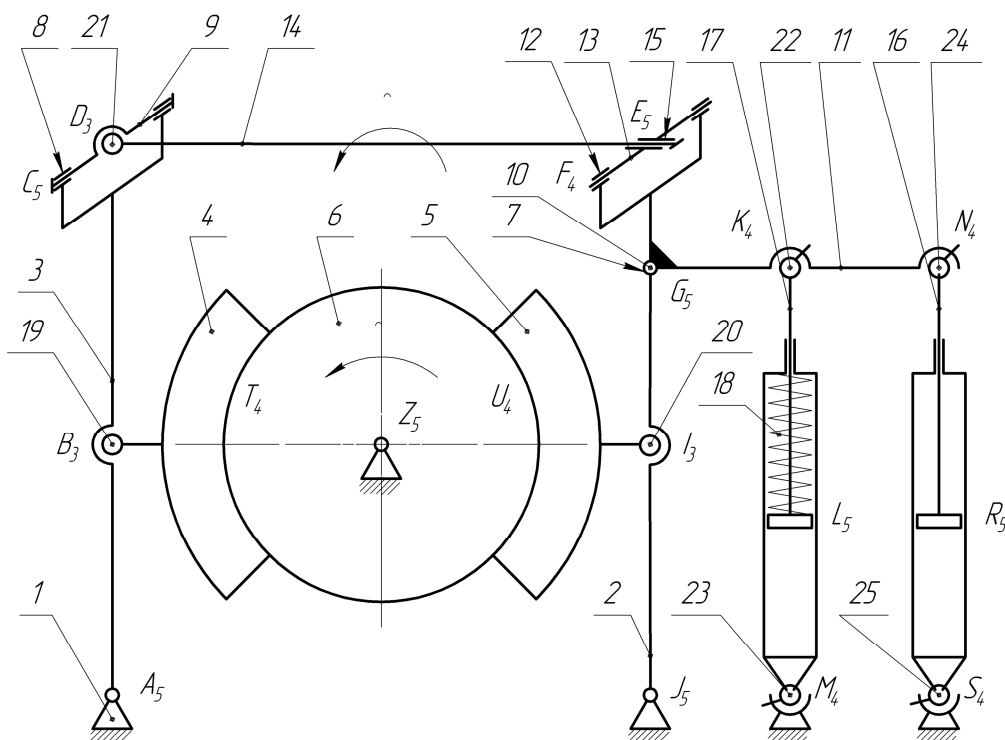


Рисунок 3 – Структурна схема механізму колодкового гальма без зайвих зв'язків

В отвори 7 і 8 гальмівних важелів 2 і 3 з можливістю повороту встановлені осі 9 і 10 лівого та правого гальмівних важелів. На осі 10 правого гальмівного важеля 2 з можливістю повороту встановлений верхній важіль 11, в отвір 12 якого встановлена з можливістю повороту вісь 13 верхнього важеля, яка шарнірно сполучена з віссю 9 лівого гальмівного важеля за рахунок штока 14. Шток 14 введений в отвір 15 осі 13, а верхній важіль 11 сполучений з корпусом 1 за рахунок гідроштовхача 16 та тяги 17 з пружиною 18, шарнірно закріплених на верхньому важелі 11 та корпусі 1. Колодки 4 і 5 з гальмівними важелями 2 і 3, та шток 14 з віссю 9 лівого гальмівного важеля сполучені за рахунок трирухомих сферичних шарнірів 19, 20 і 21, вісь 13 верхнього важеля виконана з можливістю осьових переміщень. Гідроштовхач 16 та тяга 17 з пружиною сполучені з верхнім важелем 11 та корпусом 1 за рахунок дворухомих сферичних з пальцями шарнірів 22, 23, 24, 25.

При цьому додавання в незалежні контури  $JIUZJ$ ,  $CDEFGC$ ,  $JGKLMJ$ ,  $JGNSJ$  по дві рухомості кінематичних пар, а в контур  $ABTZA$  три (одна іде на збільшення місцевої рухомості ланки 2), ліквідує зайві зв'язки. Це досягається за рахунок виконання кінематичних пар  $B$ ,  $I$ ,  $D$  трирухомими сферичними третього класу, пари  $F$  дворухомою циліндричною четвертого класу, пар  $K$ ,  $M$ ,  $N$ ,  $S$  дворухомими сферичними з пальцем четвертого класу.

Тоді, число зайвих зв'язків за формулою Малишева:

$$q_M = 3 - 6 \times 13 + 5 \times 6 + 4 \times 9 + 3 \times 3 = 0.$$

За формулою Озола:

$$q_O = 3 + 6 \times 5 - 1 \times 6 - 2 \times 9 - 3 \times 3 = 0.$$

Що підтверджує раціональність запропонованого колодкового гальма і можливість його самоустановки.

**Висновки.** За рахунок виконаних теоретичних досліджень встановлено, що відома конструкція колодкового гальма характеризується наявністю значної кількості зайвих зв'язків, що вимагає виконання кінематичних пар із завищеними зазорами і унеможлиблює самоустановку механізму. На основі аналізу структури механізму запропоновано заходи, що дозволяють ліквідувати зайві зв'язки та підвищити надійність гальма. За результатами роботи оформлено заявку на винахід [7].

## СПИСОК ВИКОРИСТАНОЇ ЛІТЕРАТУРИ

1. Александров М.П. Грузоподъемные машины. – М.: Издательство МГТУ им. Н.Э. Баумана, 2000. – 552 с.
2. Камышев А.Г. Мостовые электрические краны. – М.: Metallurgia, 1972. – 320 с.
3. Решетов Л.Н. Самоустанавливающиеся механизмы. – М.: Машиностроение, 1991. – 288 с.

4. Прикладная механика / Г.Б. Иосилевич, П.А. Лебедев, В.С. Стреляев. – М.: Машиностроение, 1985. – 576 с.
5. Теория механизмов и машин / М.З. Коловский, А.Н. Евграфов, Ю.А. Семенов, А.В. Слоущ. – М.: Академия, 2008. – 560 с.
6. Кіницький Я.Т. Теорія механізмів і машин. – К.: Наукова думка, 2002. – 656 с.
7. Заявка на патент України, В 66 D 5/20 // F16D 49/16. Колодкове гальмо / Проценко В.О., Самойленко Л.К. – № а 201010989; заявл. 13.09.2010.

**Самойленко Л.К., Проценко В.А. О СТРУКТУРЕ МЕХАНИЗМА КОЛОДОЧНОГО ТОРМОЗА И ПОВЫШЕНИИ ЕГО НАДЕЖНОСТИ**

*Выполнен анализ структуры механизма колодочного тормоза с гидротолкателем и выявлены в нем избыточные связи. Предложен колодочный тормоз, в котором за счет конструктивного исполнения снижена чувствительность к точности изготовления и монтажа, повышена равномерность распределения между колодками и надежность работы за счет ликвидации избыточных связей.*

*Ключевые слова: тормоз, гидротолкатель, надежность, избыточные связи.*

**Samojlenko L.K., Protsenko V.O. ABOUT STRUCTURE OF MECHANISM OF PAD BRAKE AND RAISE ITS RELIABILITY**

*The analysis of structure of the mechanism pad brake with hydropusher is made and superfluous communications are revealed in it. It is offered pad a brake in which at the expense of a design sensitivity to accuracy of manufacturing and installation is lowered, uniformity of distribution between pads and reliability of work at the expense of liquidation of superfluous communications is raised.*

*Keywords: brake, a hydropusher, reliability, superfluous communications.*